

综上所述,超声引导下连续股神经阻滞用于老年膝关节置换术镇痛效果好,患者血流动力学稳定,血液流变学所受影响小,不良反应少,对增强手术效果、促进术后康复有重要价值。

参考文献

[1] Lewis GN, Rice DA, Mcnair PJ, et al. Predictors of persistent pain after total knee arthroplasty: a systematic review and meta-analysis [J]. Brit J Anaesth, 2016, 114(4): 149-150.  
 [2] Zhai L, Song Z, Kang L. The effect of gabapentin on acute postoperative pain in patients undergoing total knee arthroplasty: a meta-analysis [J]. Medicine, 2016, 95(20): e3673.  
 [3] 程晓燕,王梅玲,纪凡层,等. 膝关节置换术后两种股神经阻滞镇痛比较[J]. 中国矫形外科杂志, 2016, 24(21): 1968-1971.

[4] 杨拔贤,李文志. 麻醉学[M]. 3版. 北京: 人民卫生出版, 2013: 30.  
 [5] 陈嘉华,黄凯,李朝晖,等. 超声引导持续股神经阻滞在全膝关节置换术后的镇痛效果及对患者生活质量的影响[J]. 广东医学, 2014, 35(6): 847-850.  
 [6] 赵晶,汪艳,许涛,等. 静脉自控镇痛与硬膜外镇痛对膝关节置换术后患者胃肠动力的影响[J]. 山东医药, 2016, 56(2): 45-46.  
 [7] 胡振伐,田鸣. 股神经联合坐骨神经阻滞麻醉在老年患者单侧下肢手术中的应用[J]. 国际麻醉学与复苏杂志, 2014, 35(8): 701-703, 712.  
 [8] Memtsoudis SG, Danninger T, Rasul R, et al. Inpatient falls after total knee arthroplasty. the role of anesthesia type and peripheral nerve blocks [J]. Anesthesiology, 2014, 120(3): 551-563.

(收稿日期: 2019-03-14)

· 病例报道 ·

Ultrasonic misdiagnosis of diffuse large B-cell lymphoma: a case report  
 超声误诊弥漫大B细胞性淋巴瘤 1例

叶丹 龚心德 吴海燕

[中图法分类号]R445.1

[文献标识码]B

患者女,74岁,因发现左颈部肿物3d入院。既往高血压病史25年,自服降压药控制可;2型糖尿病病史20年,自行胰岛素注射。超声检查:于甲状腺左叶外侧软组织间隙见大小约6.8 cm×5.4 cm×4.0 cm团状混合回声,包绕颈动脉全程,形态呈梭形,边界欠清,内部回声不均且见小片状无回声区;CDFI示其内可探及丰富的血流信号(图1,2)。超声提示:甲状腺左叶外侧软组织间隙混合回声团(颈动脉体瘤?)。增强CT检查:左颈部见大小约5.9 cm×6.8 cm团块状软组织密度影,上界约平第4颈椎椎体水平,下界约平第1胸椎椎体下缘水平,甲状腺、食管及气管受压向右移位,食管左缘与肿块分界欠清晰,左侧颈总动脉从肿块内穿过,相应管腔未见明显狭窄,管壁见多发斑片钙化;增强扫描两期肿块呈轻度强化,密度较均匀(图3)。增强CT提示:左颈部肿块(纤维瘤?)。遂行超声引导下左颈部肿物穿刺活检术,病理诊断:弥漫大B细胞性淋巴瘤(diffuse large B cell lymphoma, DLBCL), A型(滤泡中心细胞来源),见图4。

讨论:DLBCL是非霍奇金氏淋巴瘤中的一种最常见病理类型,临床表现、组织形态和预后方面具有广泛异质性,中位发病年龄为60~70岁,男稍多于女,可以发生于任何组织器官,具有侵袭性。本例发生于颈部淋巴结,以发现包块就诊,因肿瘤生长较大且包绕颈动脉,超声检查和CT检查均未考虑淋巴结来源,因此误诊。本病需与颈动脉体瘤、神经纤维瘤、神经鞘瘤、转移瘤等<sup>[1-2]</sup>鉴别。当超声发现包绕颈动脉较大肿物时需结合病史综合考虑,最终确诊有赖于病理诊断。超声可发现病灶并清晰显示病灶的位置、大小、形态、边界、内部回声、血流分布及其与周围组织的关系,为临床提供诊断信息。

参考文献

[1] 姜永玲,唐文成,何磊,等. 颈动脉体瘤超声表现1例[J]. 临床超声医学杂志, 2017, 19(4): 221.  
 [2] 罗璐,陈定章,罗文,等. 高频彩色多普勒超声评估外周神经鞘瘤与神经纤维瘤的鉴别诊断价值[J]. 现代医用影像学, 2018, 27(3): 702-704.

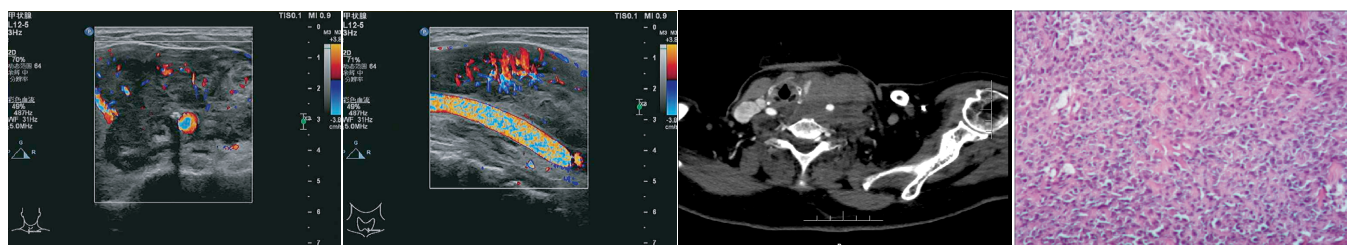


图1 左颈部肿物横切面CDFI图

图2 左颈部肿物纵切面CDFI图

图3 左颈部肿物增强CT图

图4 弥漫大B细胞性淋巴瘤穿刺活检病理图(HE染色, ×100)

(收稿日期: 2019-03-06)